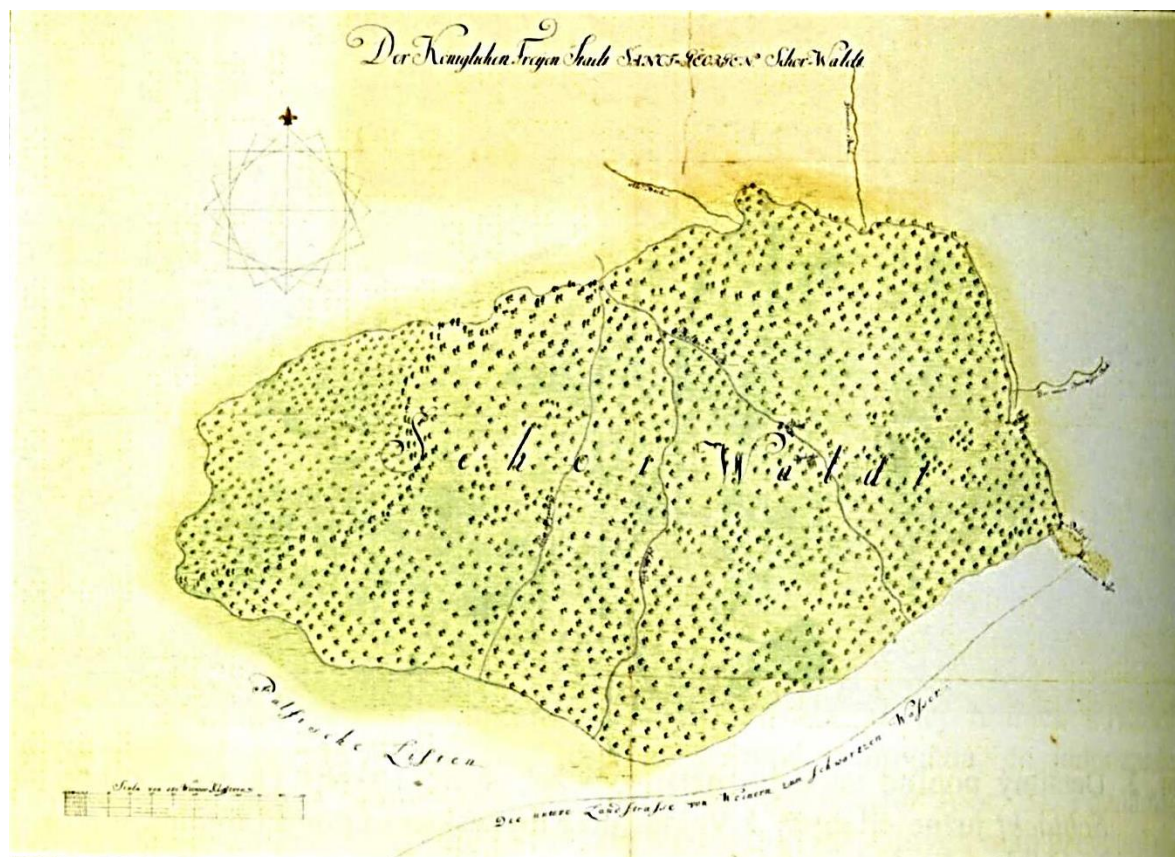
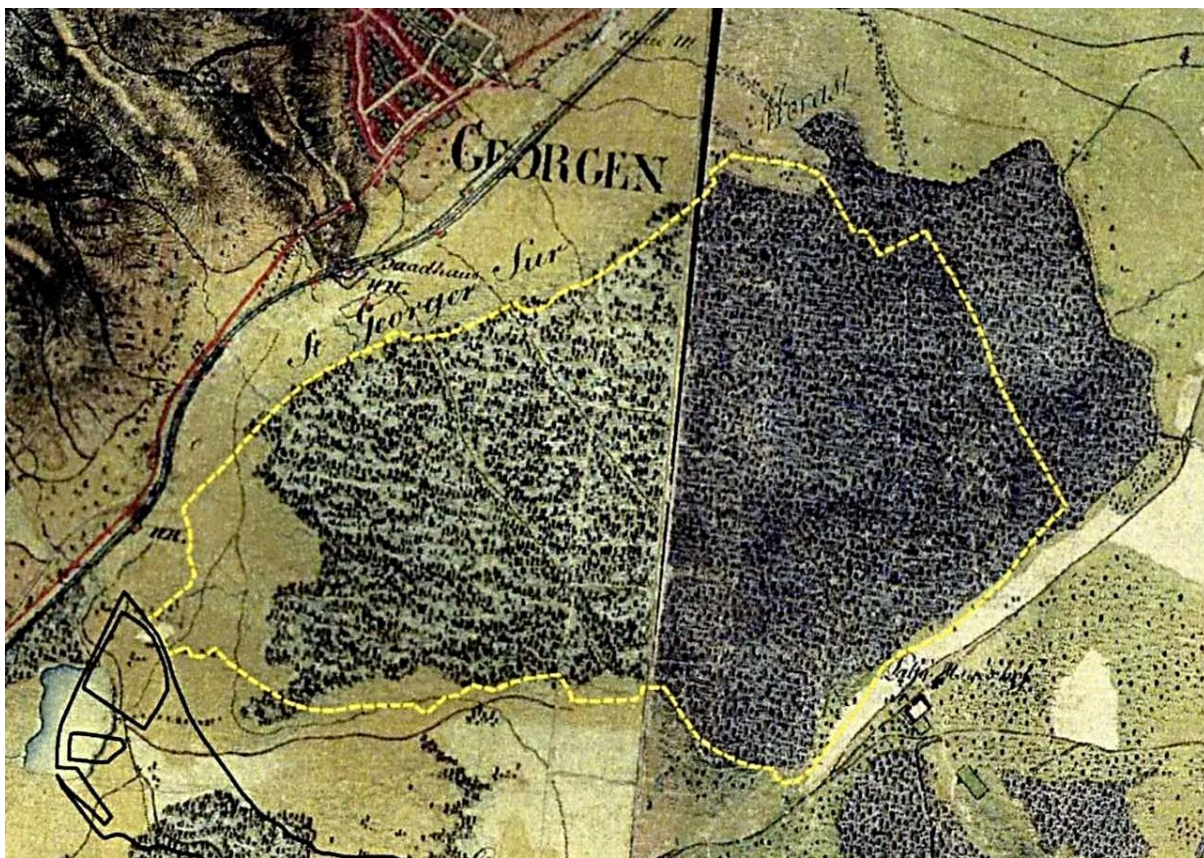


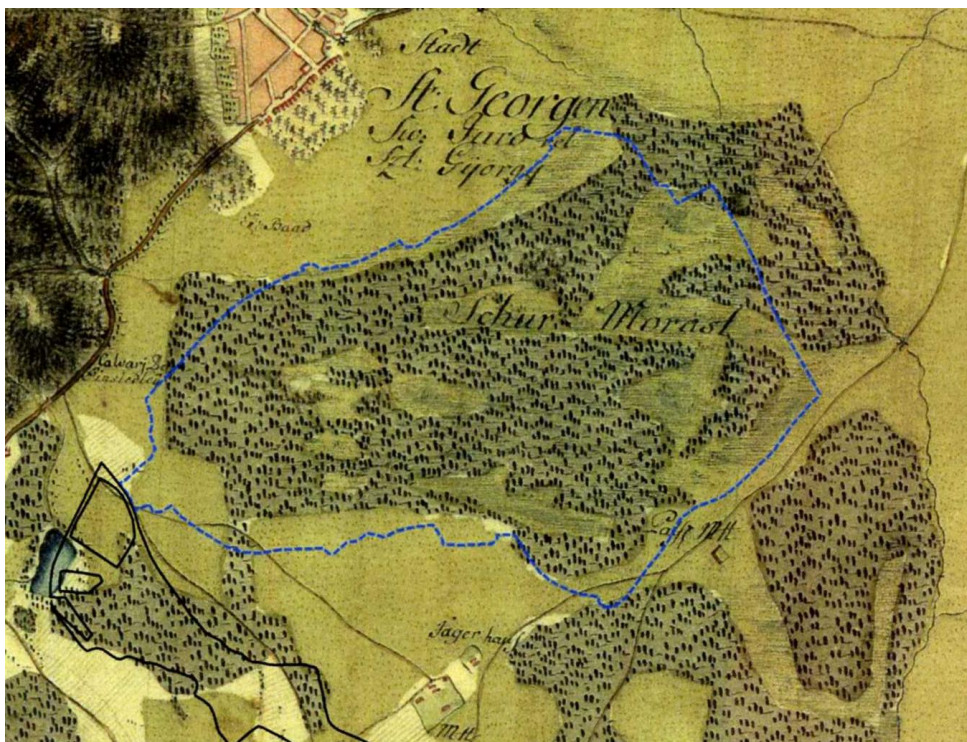
Přílohy



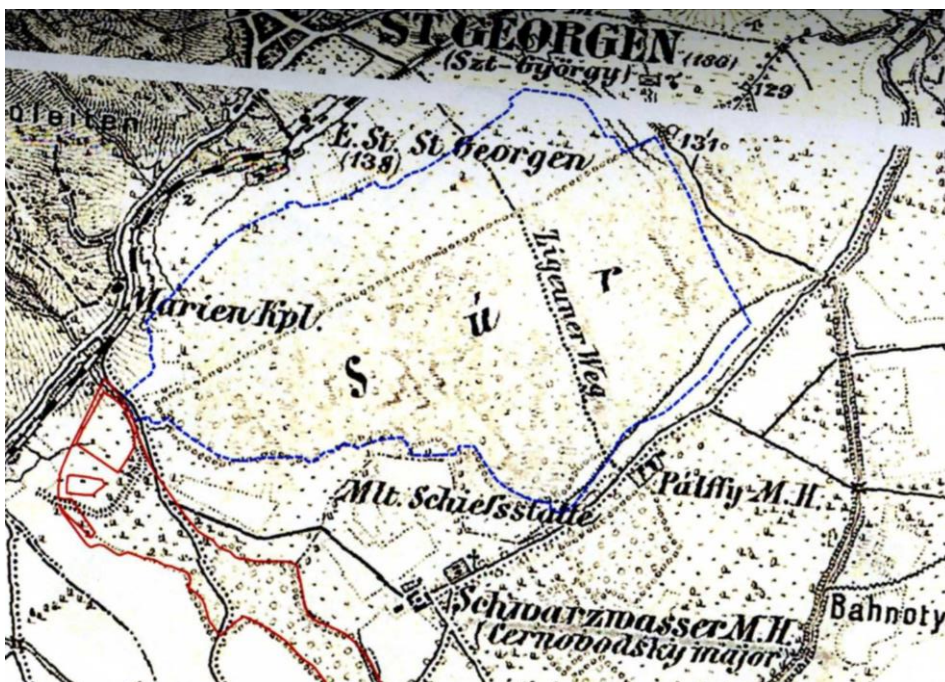
Obr. P1: Mapa S. Kriegra z roku 1769, na které jsou vidět 3 cesty vedoucí skrz les (Majzlan & Vidlička 2010)



Obr. P2: Mapa z 2. Vojenského mapování, žlutě vyznačena dnešní rozloha Šúrského lesa (Majzlan & Vidlička 2010)



Obr. P3: Mapa z 1. vojenského mapování, modře vyznačena dnešní rozloha Šúrského lesa (Majzlan & Vidlička 2010)



Obr. P4: Mapa z 3. vojenského mapování, modře vyznačena dnešní rozloha Šúru (Majzlan & Vidlička 2010)



Obr. P5: *Selaginella selaginoides* (foto A. Potůčková, Norsko, Dovrefjell 2013)



Obr. P6: Stanoviště *Selaginella selaginoides* (foto A. Potůčková, Norsko, Dovrefjell 2013)



Obr. P7: Velký Alvar na Ölandu ve Švédsku (foto A. Potůčková, 2013)

	světlo	teplota	kontinentalita	vlhkost	reakce	živiny	salinita
S3-5	6,9–8	5,5–6	4–6	8,8–10	6,8–7	6,7–7,8	0–0,6
S3-4	7–8	5,6–6,3	3–6	9–11,2	6,3–7,5	5–7,5	0–1
S3-3	6,3–7,2	5,6–6,2	4,1–4,7	8,3–9,8	6,2–8	6,4–7	0,6–1,4
S3-2	6–8,6	5,7–6,5	3,8–4,7	8–11,5	6,5–8	5,8–8	0,2–1,2
S3-1	5–9	5–6,5	4–5	7–12	5–9	4–7,5	0–1

Tab. P1: Průměrné Ellenbergovy indikační hodnoty pro jednotlivé zóny u profilu 3

	světlo	teplota	kontinentalita	vlhkost	reakce	živiny	salinita
S4-7	5-7	5,3-6,3	3-4	7,5-9	6,5-7	7,4-9	0-0,4
S4-6	6,6-7,5	5,8-6,3	3,7-4,3	8,5-11	6,6-7	6,3-7,8	0,5-1
S4-5	6-7,25	5-5,8	3,6-4,2	7-9,6	6,3-7	6,5-8,2	0,3-0,7
S4-4	6,9-7,5	5-5,7	4-5,1	8,3-8,8	5,3-7	5,5-7,3	0,2-0,4
S4-3	6,4-8,3	5,7-6,2	3,4-5	8,3-9,8	6,3-7,3	6,2-8,2	0,2-0,6
S4-2	6,8-9	5-6	3,6-4	6,5-10	6,5-9,8	5,4-6,8	0-0,3
S4-1	6,8-7,5	5,1-5,8	3,8-4	9,3-10	7-7,7	5-6,2	0-1,8

Tab. P2: Průměrné Ellenbergovy indikační hodnoty pro jednotlivé zóny u profilu 4

Geo-chronologic	Age	Subage	Chron	Definitions of boundaries in conventional radiocarbon years B.P.
Chrono-stratigraphic	Stage	Substage	Chronozone	
	Flandrian	Late Flandrian	Subatlantic	2500 5000 8000 9000 10,000 11,000 11,800 12,000 13,000
		Middle Flandrian	Subboreal	
			Atlantic	
		Early Flandrian	Boreal	
			Preboreal	
		Weichselian	Late Weichselian	
	Allerød			
	Older Dryas			
	Bølling			
	Middle Weichselian		? Denekamp	
			? Hengelo	
			? Moershoofd	
			?	
	Early Weichselian	Odderade		
? Brorup				
? Amersfoort				
?				

Tab. P3: Chronostratigrafické členění posledního glaciálu a holocénu. Převzato z Mangerud et al. 1974

LEGENDA KE GEOLOGICKE MAPĚ okolí Šúru (Obr. 3) (<http://mapserver.geology.sk/gm50js/>, 2014)

Mladší (vrchný) holocén

ah2; antropogénne sedimenty: navážky, haldy a skládky

Holocén vcelku

hh; fluviálno-organické sedimenty: jemnopiesčité, ílovité až hnilokalové humózne hliny mŕtvych ramien a močiarov

orh; organické sedimenty: rašeliny (slatiny a vrchoviská), humózne rašelinové hliny

fhh; fluviálne sedimenty: litofaciálne nečlenené nívne hliny, alebo piesčité až štrkovité hliny dolinných nív a nív horských potokov

hsh; proluviálne sedimenty: prevažne hliny a piesčité hliny s úlomkami hornín a zahlinenými štrkami v nívnych náplavových kuželoch

Mladší pleistocén - holocén

fš; fluviálne sedimenty: piesčité štrky a piesky najmladšieho horizontu dnovej akumulácie v nadnívnych terasách

dfh; deluviálno-fluviálne sedimenty: prevažne ronové hliny, piesčité hliny s úlomkami, jemnozrnné piesky a splachy zo spraší

dp; deluviálno-proluviálne sedimenty: hlinité, až hlinito-kamenité dejekčné kužele, lokálne s obsahom štrkov a pieskov

Pleistocén / holocén

pgh; deluviálno-polygenetické sedimenty: hlinito-ílovité a piesčité svahové hliny

dhk; deluviálne sedimenty: prevažne hlinito-kamenité (podradne piesčito-kamenité) svahoviny

zd; eluviálno-deluviálne sedimenty: ílovito-hlinito-piesčité až hlinito-kamenité zvetraniny plošín

d; deluviálne sedimenty vcelku: litofaciálne nerozlišené svahoviny a sutiny

Mladší pleistocén

šw; fluviálne sedimenty: štrky, piesčité štrky a piesky dnovej akumulácie v nízkych terasách

pw; proluviálne sedimenty: hlinité a piesčité štrky s úlomkami hornín v nízkych náplavových kuželoch

lhw; eolicko-deluviálne sedimenty: nevápnité sprašové hliny a sprašiam podobné zeminy

NEOGÉN

MIOCÉN

Panón

ivPa; ivánske súvrstvie: vápnité íly, prachy, piesky, uhoľné íly, lignity

KRYŠTALINIKUM

MAGMATICKE HORNINY

Granity až granodiority

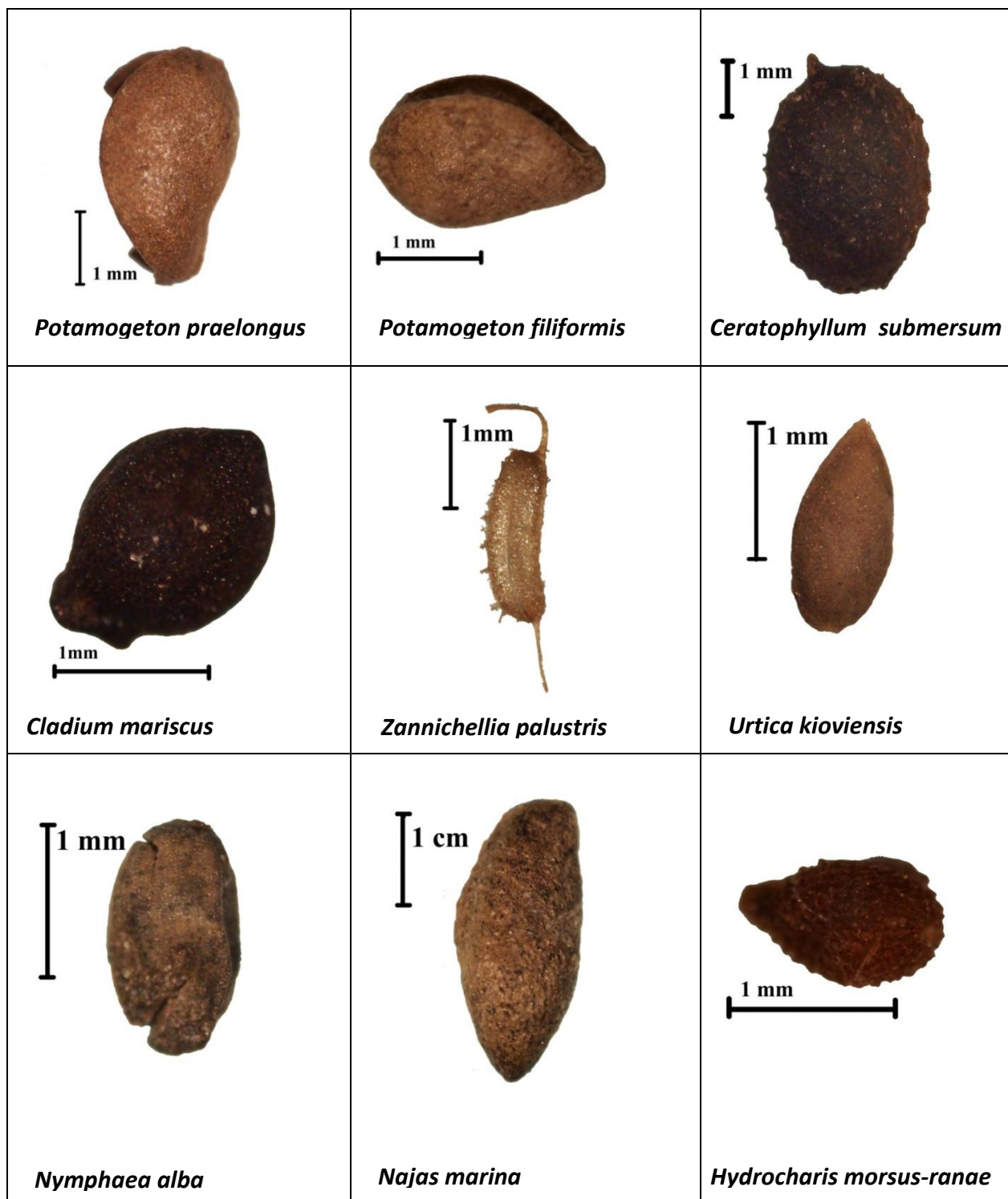
gr6e; strednozrnné leukokratné muskovitické a dvojsľudné granity, granodiority (bratislavský typ)

gr6n; hrubozrnné muskovitické, muskoviticko biotitické granity, granodiority bohaté na pegmatity (bratislavský typ)

METAMORFOVANÉ HORNINY

Horniny stredného až vyššieho stupňa premeny

gn6a; biotitické pararuly s vločkovým grafitom



Obr. P8: Ukázka makrozbytků vodních a bažinných rostlin z profilu 3 a 4